

Introduction à la Théorie de Complexité Quantique

Tom Sarry

24 avril 2023

Université de Montréal



Table des Matières

Introduction

Modèles de Calcul Quantique

LA classe de Complexité Quantique : **BQP**

Circuits Quantiques

Machines de Turing Quantiques

Analyse de **BQP**

Conclusion

Introduction

1. Machines de Turing (Programmes de Branchement, Circuits Booléens,...) sont basées sur la **physique classique**
2. On a de bonnes raisons de croire que le monde obéit à la **physique quantique**

Comment étudier la puissance du calcul quantique ?

Les Questions

1. Utiliser les outils existants ? (Modèles de Calcul, classes de complexité)
2. Situer la puissance de l'ordinateur quantique dans la hiérarchie connue
3. Résoudre des questions ouvertes ?

Les Questions

1. Utiliser les outils existants ? (Modèles de Calcul, classes de complexité)
2. Situer la puissance de l'ordinateur quantique dans la hiérarchie connue
3. Résoudre des questions ouvertes ? $P \neq NP$

Modèles de Calcul Quantique

Extension logique : adapter les modèles existants pour supporter le calcul quantique :

- Turing Machines (TM) \rightarrow QTM (Quantum TM)
- Finite Automata (FA) \rightarrow QFA (Quantum FA)
- Boolean Circuits \rightarrow Quantum Circuits : vu en classe !
- Branching Programs (BP) \rightarrow QBP (Quantum BP)

Dates Importantes

- Turing 1936 : Machines de Turing
- Cook 1971 : Comment prouver $X \in \text{NP}$
- Baianu 1971 : QFA
- Deutsch 1985 : QTM
- Bernstein, Verizani 1997 : Universal QTM (avec coût de simulation *raisonnable*)
- Nakanishi, 2000 : Programme de Branchement Quantique

LA classe de Complexité Quantique : BQP

$L \in \mathbf{BQP}$:

- $\iff \exists$ un algo. quantique qui résolve le problème de décision avec haute probabilité en temps poly.
- $\iff \exists$ une famille uniforme de temps poly de circuits quantiques $\{Q_n : n \in \mathbb{N}\}$ tel que :
 1. $\forall n \in \mathbb{N}$, Q_n prend n qubits en entrée et produit un bit en sortie
 2. $\forall x \in L$, $Pr(Q_{|x|}(x) = 1) \geq 2/3$
 3. $\forall x \notin L$, $Pr(Q_{|x|}(x) = 0) \geq 2/3$

Rappel : Machines de Turing

1. Machines de Turing Déterministes : un chemin
2. Machines de Turing Non Déterministes : plusieurs chemins
3. Machines de Turing Probabilistes : plusieurs chemins, n'en suit qu'un
4. Machines de Turing Quantique :

Rappel : Machines de Turing

1. Machines de Turing Déterministes : un chemin
2. Machines de Turing Non Déterministes : plusieurs chemins
3. Machines de Turing Probabilistes : plusieurs chemins, n'en suit qu'un
4. Machines de Turing Quantique : suit plusieurs chemins en superposition

Rappel : BPP (Bounded-error Probabilistic Poly-time)

$L \in \mathbf{BPP}$: problèmes qui peuvent être efficacement résolus

- $\iff \exists$ un algo. qui résolve le problème de décision avec haute probabilité en temps poly.
- $\iff \exists$ une Machine de Turing Probabiliste M tel que :
 1. M fonctionne en temps poly
 2. $\forall x \in L, \Pr(M \downarrow x = 1) \geq 2/3$
 3. $\forall x \notin L, \Pr(M \downarrow x = 0) \geq 2/3$

Peut diminuer la probabilité d'erreur à 2^{-n^c} avec des votes majoritaires (Bornes de Chernoff)

BQP (Bounded-error Quantum Poly-time) par QTM

$L \in \text{BQP}$:

- $\iff \exists$ un algo. **quantique** qui résolve le problème de décision avec haute probabilité en temps poly.
- $\iff \exists$ une Machine de Turing **Quantique** M tel que :
 1. M fonctionne en temps poly
 2. $\forall x \in L, \Pr(M \downarrow x = 1) \geq 2/3$
 3. $\forall x \notin L, \Pr(M \downarrow x = 0) \geq 2/3$

Peut diminuer la probabilité d'erreur à 2^{-n^c} avec des votes majoritaires (Bornes de Chernoff)

PTM : $M = (Q, \Sigma, \Gamma, \delta, q_0, F)$

- Q états
- Σ alphabet d'entrée
- Γ alphabet bande de calcul ($\Sigma \subseteq \Gamma, \# \in \Gamma$)
- δ fonction de transition
 $\delta : Q \times \Gamma \times Q \times \Gamma \times \{L, R\} \rightarrow [0, 1]$
- q_0 état initial
- $F \subseteq Q$ états acceptants

Rappel : Machine de Turing Probabiliste

Pas tous les δ donnent des PTM valides !

Rappel : Machine de Turing Probabiliste

Pas tous les δ donnent des PTM valides !

$$\sum_{q,\tau,d} \delta(p, \gamma, q, \tau, d) = 1, \quad \forall (p, \gamma) \in Q \times \Gamma$$

QTM [BV97] : $M = (Q, \Sigma, \delta, q_0, F)$

- Q états
- Σ alphabet
- δ machine de contrôle quantique
 $\delta : Q \times \Sigma \times \Sigma \times Q \times \{L, R\} \rightarrow \mathbb{C}$
 $\delta(p, \sigma, \tau, q, d) : \text{amplitude}$
- q_0 état initial
- $F \subseteq Q$ états acceptants

- Pas tous les δ donnent des QTM valides !

- Pas tous les δ donnent des QTM valides !
- δ représente une **application linéaire** M_δ , nous désirons qu'elle soit **unitaire**

- Pas tous les δ donnent des QTM valides !
- δ représente une **application linéaire** M_δ , nous désirons qu'elle soit **unitaire**
- $M_\delta M_\delta^\dagger = \mathbb{I} \iff$ préserve la norme L_2 (M_δ finie)

- Pas tous les δ donnent des QTM valides !
- δ représente une **application linéaire** M_δ , nous désirons qu'elle soit **unitaire**
- $M_\delta M_\delta^\dagger = \mathbb{I} \iff$ préserve la norme L_2 (M_δ finie)
- Nombre **infini** de configurations (car bande de calcul)
 $\implies M_\delta$ infinie

Théorème (informel) [BV97] : δ est valide ssi M_δ satisfait :

1. Colonnes de longueur unitaire
2. Colonnes avec même position de la tête de lecture sont orthogonales
3. Colonnes avec une position de tête qui diffère de 2 cases sont orthogonales

Objectif : Deux configurations c_1, c_2 qui pourraient donner lieu à la même configuration c doivent être orthogonales.

Machine de Turing Quantique

Cas 1 : Têtes de lecture sur la même case

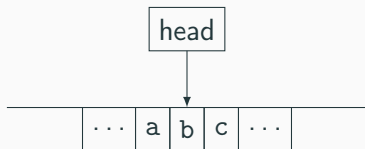


Figure 1: c_1

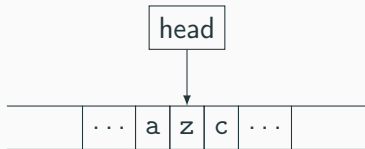


Figure 2: c_2

Machine de Turing Quantique

Cas 2 : Têtes de lecture diffèrent de 2 cases

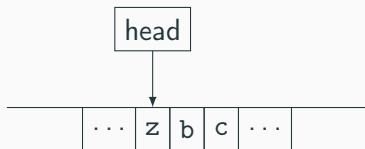


Figure 3: c_1

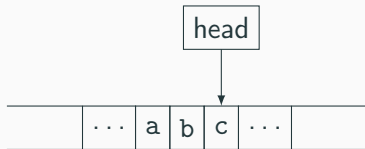


Figure 4: c_2

Cas 3 : Têtes de lecture différent de 1 case ?

Machine de Turing Quantique

Cas 3 : Têtes de lecture différent de 1 case ?

Non car **obligation de bouger** dans la direction $d \in \{L, R\}$!

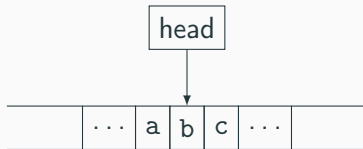


Figure 5: c_1

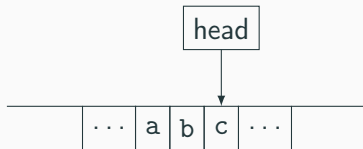


Figure 6: c_2

Analyse de BQP

- But :

- **But** : situer la classe, prouver inclusions
- **Comment** :

- **But** : situer la classe, prouver inclusions
- **Comment** : trouver un problème X **BQP**-complet

- **But** : situer la classe, prouver inclusions
- **Comment** : trouver un problème X **BQP**-complet
- **Problème** : on n'en connaît pas !

Exemple

- Entrée : 1 qubit $|x\rangle$
- Problème : $|x\rangle = |1\rangle$?

Exemple

- **Entrée** : 1 qubit $|x\rangle$
- **Problème** : $|x\rangle = |1\rangle$?
- **Promesse** : $|x\rangle = |1\rangle \vee |x\rangle = \frac{\sqrt{3}}{2} |0\rangle + \frac{1}{2} |1\rangle$

APPROX-QCIRCUIT-PROB (AQP) :

- **Entrée** : Circuit Quantique C sur n qubits, $\alpha, \beta \in [0, 1]$

APPROX-QCIRCUIT-PROB (AQP) :

- **Entrée** : Circuit Quantique C sur n qubits, $\alpha, \beta \in [0, 1]$
- **Problème** : Mesure du premier qubit de $C |0^n\rangle$ donne 1 avec probabilité $\geq \alpha$, ou $\leq \beta$?

APPROX-QCIRCUIT-PROB (AQP) :

- **Entrée** : Circuit Quantique C sur n qubits, $\alpha, \beta \in [0, 1]$
- **Problème** : Mesure du premier qubit de $C |0^n\rangle$ donne 1 avec probabilité $\geq \alpha$, ou $\leq \beta$?
- **Promesse** : $\alpha > \beta$

AQP est **BQP**-hardu

Preuve (ébauche) : $\forall L \in \mathbf{BQP}$, utiliser **AQP** comme oracle avec $\alpha = 2/3, \beta = 1/3$

1. Fixer x, Q_n
2. Construire C_x tel que $C_x |0^n\rangle = |x\rangle$
3. Joindre C_x et Q_n en un circuit C'
4. Demander à l'oracle $(C', 2/3, 1/3)$

Résultat 1 : BQP faible pour elle même

$$\text{BQP}^{\text{BQP}} = \text{BQP}$$

Résultat 2 : Inclusions (basiques)

$$P \subseteq BPP \subseteq BQP \subseteq PP \subseteq PSPACE \subseteq EXP$$

Supposition : Hiérarchie Polynomiale

$$P \subseteq \mathbf{BPP} \subseteq \mathbf{BQP} \subseteq PP \subseteq PSPACE \subseteq EXP$$

- Rappel :

$$P = \Sigma_0^p = \Pi_0^p \subseteq NP = \Sigma_1^p \subseteq \cup_k \Delta_k^p = PH \subseteq PSPACE$$

Supposition : Hiérarchie Polynomiale

$$P \subseteq \mathbf{BPP} \subseteq \mathbf{BQP} \subseteq PP \subseteq PSPACE \subseteq EXP$$

- **Rappel :**

$$P = \Sigma_0^p = \Pi_0^p \subseteq NP = \Sigma_1^p \subseteq \cup_k \Delta_k^p = PH \subseteq PSPACE$$

- Fourier Sampling $\in \mathbf{BQP}$, $\notin PH$?

Conclusion

- Modèles de Calcul Quantiques
- QTM
- **BQP** (QMA, EQP, AWPP, ...)

- Bernstein, Verizani 1997, *Quantum Complexity Theory*
- Deutsch 1985, *Quantum Theory, the Church-Turing Principle and the Universal Quantum Computer*
- Fortnow 2003, *One Complexity Theorist's View of Quantum Computing*
- <https://complexityzoo.net/>